

УДК 536.46

**САМОРАСПРОСТРАНЯЮЩИЙСЯ ВЫСОКОТЕМПЕРАТУРНЫЙ
СИНТЕЗ УЛЬТРАДИСПЕРСНЫХ И НАНОРАЗМЕРНЫХ
ПОРОШКОВ КОМПОЗИЦИЙ TiC-SiC И TiC-NbC****К.С. Криволицкий, А.П. Амосов, А.Р. Самборук**Самарский государственный технический университет
Россия, 443100, г. Самара, ул. Молодогвардейская, 244

Разработана методика проведения эксперимента по самораспространяющемуся высокотемпературному синтезу (СВС) композиционных порошков карбидов титана и кремния или ниобия. Проведен синтез в режиме горения композиций порошков с различным процентным соотношением исходных реагентов. Произведен замер температуры горения методом термопар. Конечные продукты синтеза проанализированы методами электронной микроскопии и рентгеновской дифрактометрии. Показано, что продукты СВС представляют собой композиции ультрадисперсных и наноразмерных частиц чистых целевых фаз TiC-SiC и TiC-NbC, объединенные в агломераты микронных размеров.

Ключевые слова: карбид кремния, карбид ниобия, карбид титана, СВС, композиционный материал, микро- и нанопорошки.

В наше время все большей популярностью пользуются композиционные материалы (КМ), свойства которых могут значительно превосходить свойства составляющих их индивидуальных компонентов. Быстрыми темпами идет развитие индустрии микро- и нанопорошковой металлургии с применением карбидов тугоплавких металлов. Они позволяют решать проблемы во многих областях техники и науки, например такие, как упрочнение высокоточного инструмента или изготовление керамики с высокой прочностью. Порошковые КМ могут использоваться в качестве армирующих элементов, покрытий с высокой износ- и термостойкостью. Было доказано, что композиционные материалы на основе двухкомпонентных карбидов позволяют компенсировать недостатки индивидуальных карбидов и что механические свойства КМ могут быть значительно выше свойств однокомпонентных аналогов [1–3].

Карбиды титана и кремния (TiC и SiC) являются достаточно распространенными материалами, используемыми в порошковой металлургии, в то время как карбид ниобия (NbC) используется значительно реже, в частности в качестве компонента композиционной смеси. Известны различные технологии получения порошков этих индивидуальных карбидов, важное место среди которых занимает энергосберегающая технология самораспространяющегося высокотемпературного синтеза (СВС) [4]. Технология СВС имеет большие возможности в регулировании размера синтезируемых порошков, в том числе в получении индивидуальных наноразмерных порошков TiC и SiC [5, 6]. Композиционные СВС-порошки

*Кирилл Сергеевич Криволицкий, аспирант,
Александр Петрович Амосов (д. ф-м. н., проф.), заведующий кафедрой «Металловедение, порошковая металлургия, наноматериалы».
Анатолий Романович Самборук (д. т. н., проф.), профессор кафедры «Металловедение, порошковая металлургия, наноматериалы».*

составляют особую группу [7]. Известны минералокерамические (тугоплавкое соединение + оксид алюминия или магния) и металлокерамические (тугоплавкое соединение + металл) композитные порошки. Замечательной особенностью композиционных СВС-порошков является высокая степень перемешивания компонентов (реализуемая даже в пределах одной частицы) [8]. Это обеспечивает их хорошую спекаемость. Технологические свойства композиционных СВС-порошков лучше, чем у механических смесей этих же компонентов. Интересно, что металлокерамические СВС-порошки успешно конкурируют с аналогичными плакированными порошками, тугоплавкое зерно которых состоит из СВС-частицы [9]. Материалы из них, полученные горячим прессованием, обладают высокими значениями твердости и износостойкости и используются для изготовления деталей, работающих в условиях сильного износа (например элементов пескоструйного аппарата) [9]. Представляет несомненный интерес исследование возможности применения метода СВС для получения нано- и микроразмерных композиционных порошков TiC–SiC и TiC–NbC, что может стать основой промышленной технологии производства недорогих композиционных порошков высокой дисперсности.

В данной работе рассмотрен процесс получения композиционных порошков из смесей элементных порошков (Ti+C) и (Si+C) или (Nb+C) методом СВС с последующим исследованием полученного продукта.

Материалы и методы экспериментального исследования

В качестве смесей для синтеза использовались смеси порошков в стехиометрическом соотношении и в различном пропорциональном соотношении. Ниже представлены реакции синтеза, которые изучались:



где x – массовый (весовой) процент содержания смеси компонентов, в каждой из которых бралось стехиометрическое соотношение компонентов, тоже в массовых процентах:

$$(\text{Ti} + \text{C}) = (80 \% + 20 \%), (\text{Si} + \text{C}) = (70 \% + 30 \%), (\text{Nb} + \text{C}) = (88,5 \% + 11,5 \%).$$

На первом этапе производились вычисления количества каждого реагента по атомарной массе в стехиометрической пропорции в расчете на 30 г смеси с постепенным уменьшением количества Ti + C, то есть величины x . Для каждой композиции было рассчитано 7 смесей с различным содержанием исходных компонентов. В табл. 1 и 2 указаны эти смеси с массой каждого элемента.

Таблица 1

Расчет массы компонентов для реакции синтеза композиции TiC–SiC

Элемент	Масса элемента в смеси, г (x/100-x, %)						
	80/20	75/25	70/30	65/35	60/40	55/45	50/50
Ti	19,2	18	16,8	15,6	14,4	13,2	12
Si	4,2	5,25	6,3	7,35	8,4	9,45	10,5
C	6,6	6,75	6,8	7,05	7,2	7,35	7,5

Расчет массы компонентов для реакции синтеза композиции TiC-NbC

Элемент	Масса элемента в смеси, г (x/100-x, %)						
	80/20	75/25	70/30	65/35	60/40	55/45	50/50
Ti	19,2	18	16,8	15,6	14,4	13,2	12
Nb	5,3	6,6	8	9,3	10,6	11,95	13,3
C	5,5	5,4	5,2	5,1	5	4,85	4,7

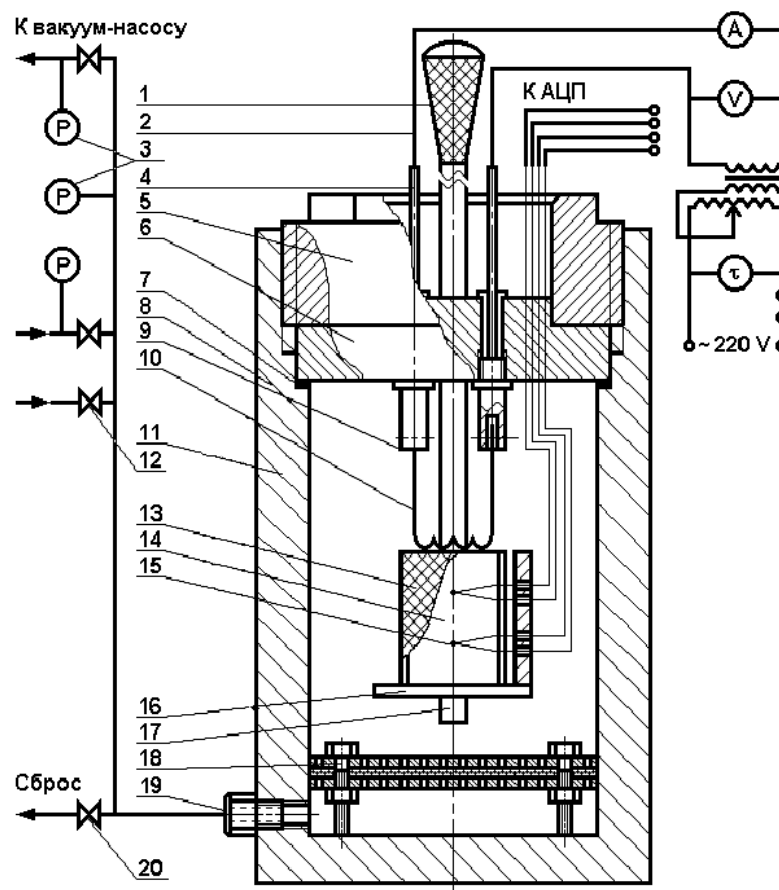


Рис. 1. Лабораторный СВС-реактор постоянного давления объемом 4,5 л:

- 1 – ручка; 2 – система воспламенения; 3 – приборы контроля (манометр, вакуумметр); 4 – электроконтакт; 5 – опорная гайка; 6 – грибовый затвор; 7 – уплотнительное резиновое кольцо; 8 – корпус; 9 – держатель спирали; 10 – иницирующая вольфрамовая спираль; 11 – корпус; 12 – вентиль М-14; 13 – фильтрующий стакан; 14 – образец исходной смеси; 15 – вольфрам-рениевая термопара; 16 – подвижная предметная полочка; 17 – направляющая стойка; 18 – фильтрующая сборка; 19 – штуцер М-24 (для ввода и сброса газа); 20 – вентиль М-24

Далее согласно расчету готовились смеси компонентов. Изучение процесса синтеза композиций карбидов титана, кремния и ниобия проводилось в лабораторном трубчатом реакторе постоянного давления с рабочим объемом 4,5 л (рис. 1). Внутренний диаметр рабочего пространства реактора составляет 0,147 м, высота – 0,255 м. Образец с насыпной плотностью исходной смеси имел диаметр 20 мм, высота образца составляла 50 мм. Он помещался в реактор на предметную подвижную полочку 16. В образец исходной смеси 14 вводились вольфрам-рениевые термопары 15 из проволоки ВР-5 и ВР-20 диаметром 138

200 мкм для измерения температуры горения. Глубина погружения термопар в образец соответствовала 5 мм, а база (расстояние между спаями горизонтально расположенных термопар) составляла 10 мм. Электрический сигнал от термопар регистрировался с помощью аналого-цифрового преобразователя, соединенного с персональным компьютером, и соответствующего программного обеспечения. К порошковому образцу подводилась вольфрамовая спираль накаливания *10* для инициирования химической реакции в форме горения.

После окончания горения и непродолжительной выдержки в течение 10–15 мин для охлаждения образец извлекался из реактора и легко разрушался до сыпучего порошкообразного состояния в фарфоровой ступке. Полученный порошок подвергался соответствующим методам анализа.

Проводился рентгенофазовый анализ (РФА) конечных продуктов синтеза. Съемку рентгеновских спектров осуществляли на автоматизированном дифрактометре марки ARL X'tra (Thermo Scientific) с использованием Cu-излучения при непрерывном сканировании в интервале углов 2θ от 20 до 80 град со скоростью 2 град/мин. Микроскопический и элементный анализ проводился на сканирующем электронном микроскопе JEOL JSM-6390A с приставкой для микроанализа JED-2200.

Обсуждение полученных результатов

На рис. 2 приведены результаты рентгенофазового анализа продукта синтеза композиции TiC (50 %) + SiC (50 %). Согласно результатам РФА, в продукте содержатся только целевые фазы TiC и SiC, то есть исходные реагенты прореагировали полностью без остатка. Конечный продукт получился чистым, без каких-либо примесей, чему способствовало проведение синтеза в изолированном реакторе. На рис. 3 приведены результаты рентгенофазового анализа продукта синтеза композиции TiC (50 %) + NbC (50 %). Здесь схожая картина с предыдущим исследованием. Продукт получился в результате полного реагирования исходных компонентов и не содержит посторонних примесей.

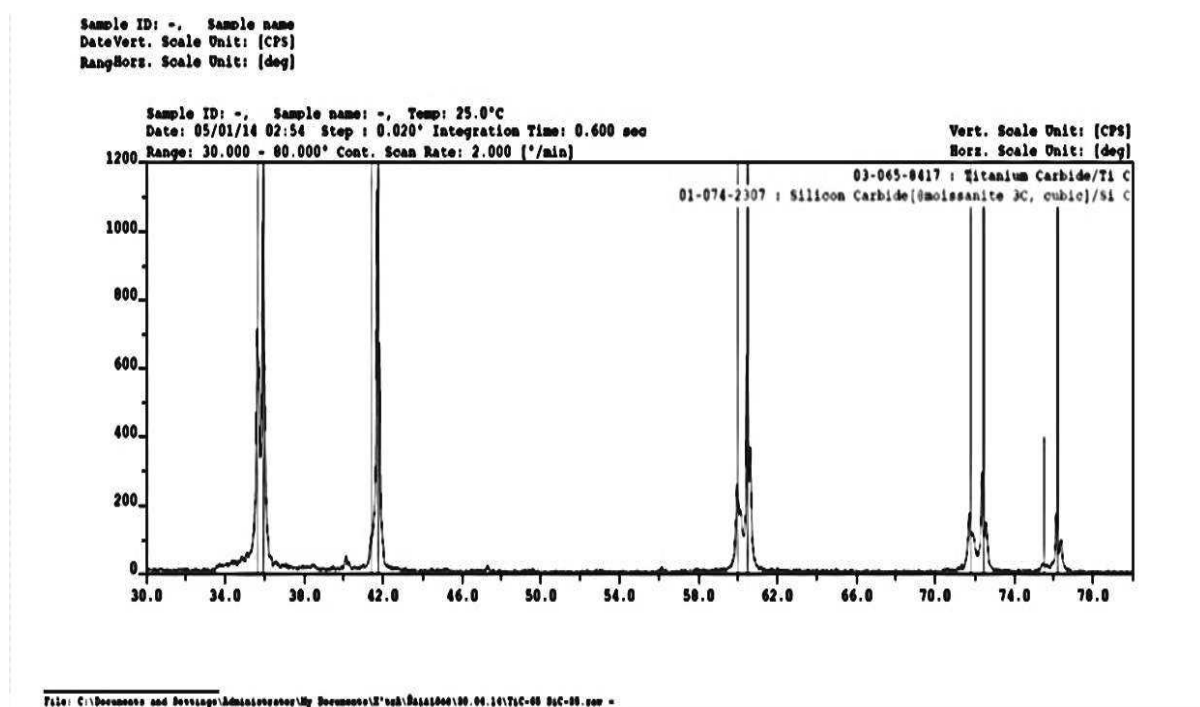


Рис. 2. Дифрактограмма конечного продукта синтеза TiC (50 %) + SiC (50 %)

Для реакций синтеза с использованием SiC производились замеры температуры горения. На рис. 4 показано влияние количества (Si + C) в исходной смеси на температуру реакции. При увеличении доли (Si + C) в исходной смеси порошков уменьшаются температуры горения, что связано с уменьшением суммарного теплового эффекта реакций $x(Ti + C) + (100 - x)(Si + C)$, который максимален у смеси (Ti+C). Соответственно это должно приводить к уменьшению размера синтезируемых порошков [10].

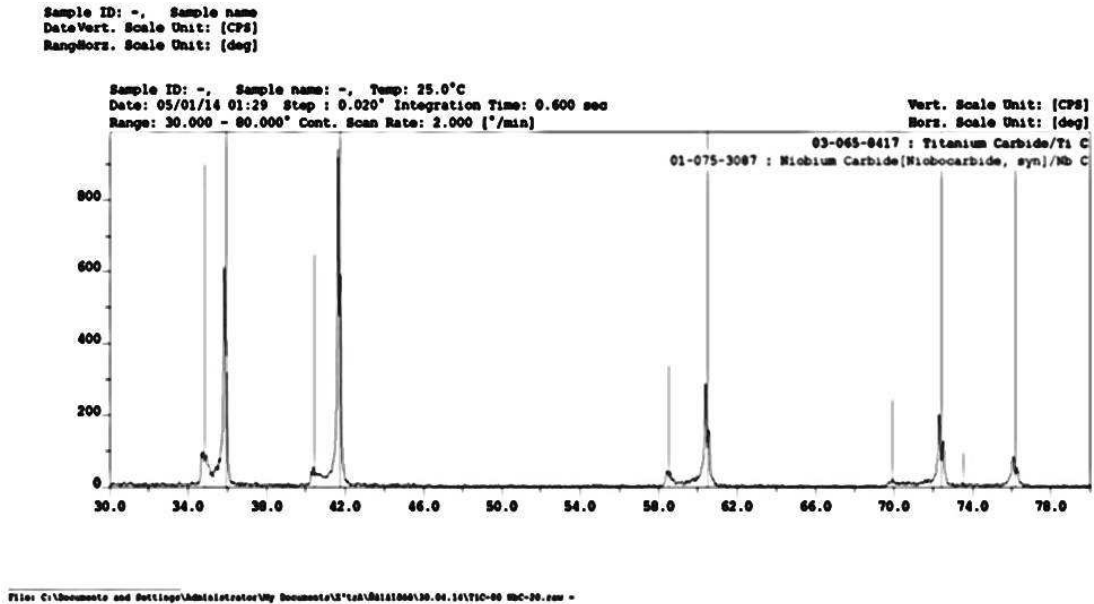


Рис. 3. Дифрактограмма конечного продукта синтеза TiC (50 %) + NbC (50 %)

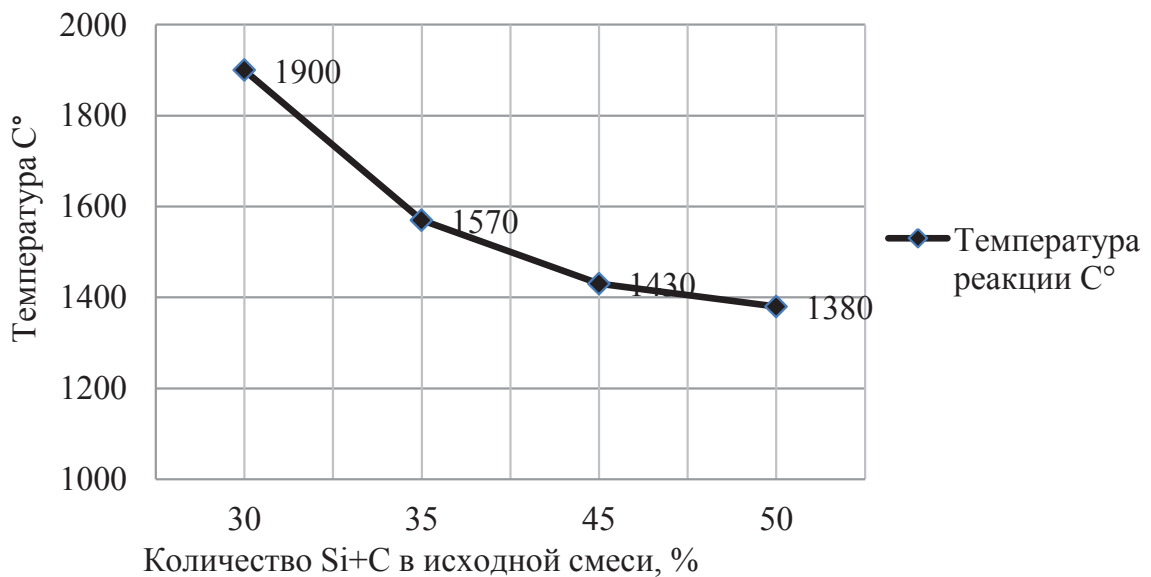


Рис. 4. Зависимость фактической температуры реакции от процентного содержания (Si + C)

На рис. 5 показаны микрофотографии конечного продукта синтеза композиций порошков, полученные с использованием сканирующей микроскопии. На рис. 5, *a* и 5, *б* показаны результаты синтеза композиции TiC–SiC с минимальным и максимальным содержанием (Si + C) в исходной смеси. У композиции с 20 % Si + C размер отдельных частиц порошка находится в диапазоне от 280 до 1130 нм, а у композиции с 50 % Si + C – в диапазоне 70–284 нм, то есть синтезированный композиционный порошок можно считать ультрадисперсным. Видно, что с увеличением количества (Si + C) уменьшается размер частиц, что, как отмечалось выше, объясняется уменьшением температуры горения. Похожий эффект наблюдается по результатам исследования системы $x(\text{Ti} + \text{C}) + (100 - x)(\text{Nb} + \text{C})$, у которой синтезированный композиционный порошок TiC–NbC получился заметно более мелким: 100–200 нм у композиции с 20% Nb + C и 60–350 нм у композиции с 50 % Nb + C. В последнем случае получилась смесь наноразмерных и ультрадисперсных частиц. Прямая зависимость размера частиц от количества Si + C и Nb + C указана на рис. 6 и 7 соответственно. Из рис. 5 видно, что полученные ультрадисперсные и наноразмерные частицы объединены в агломераты микронных размеров, что является типичным для высокодисперсных порошков, полученных методом СВС.

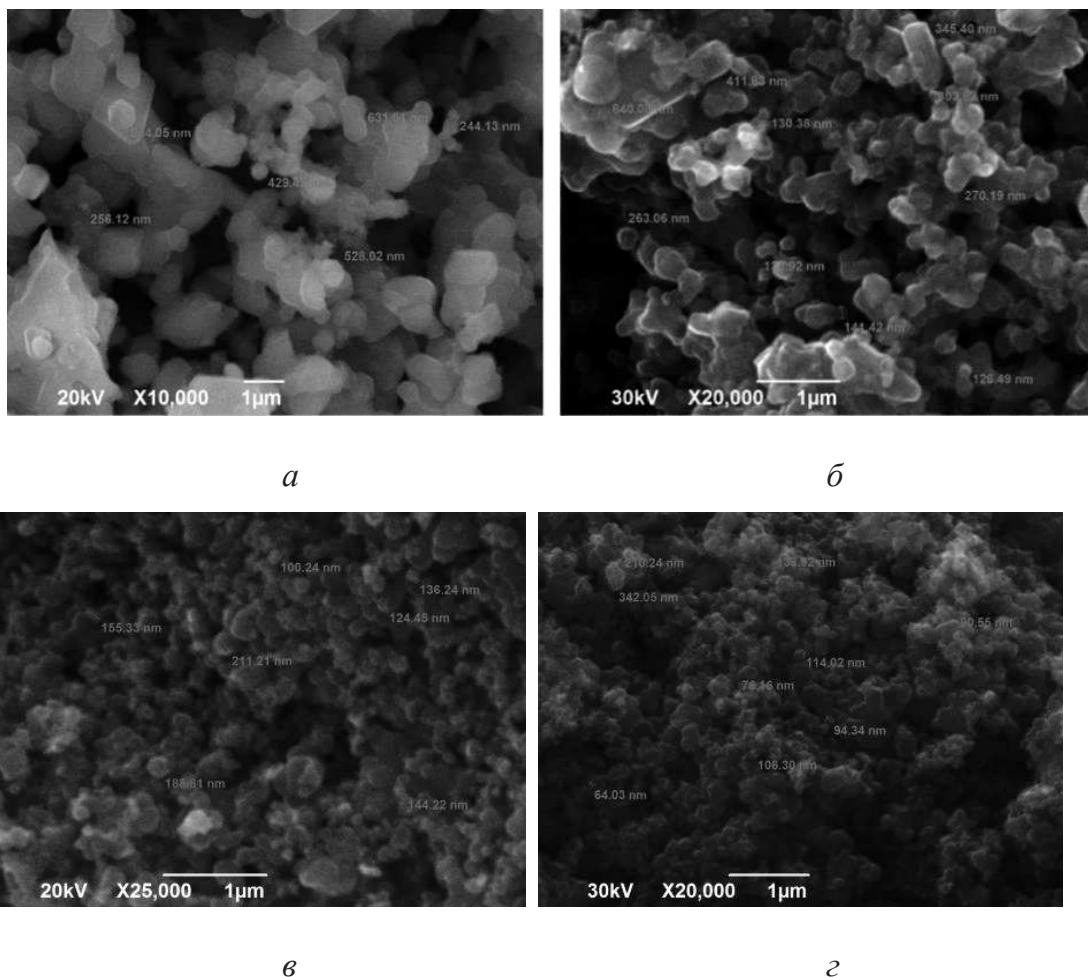


Рис. 5. Микрофотографии конечного продукта синтеза смеси порошков:
a – TiC (80 %) + SiC (20 %); *б* – TiC (50 %) + SiC (50 %);
в – TiC (80 %) + NbC (20 %); *г* – TiC (50 %) + NbC (50 %)

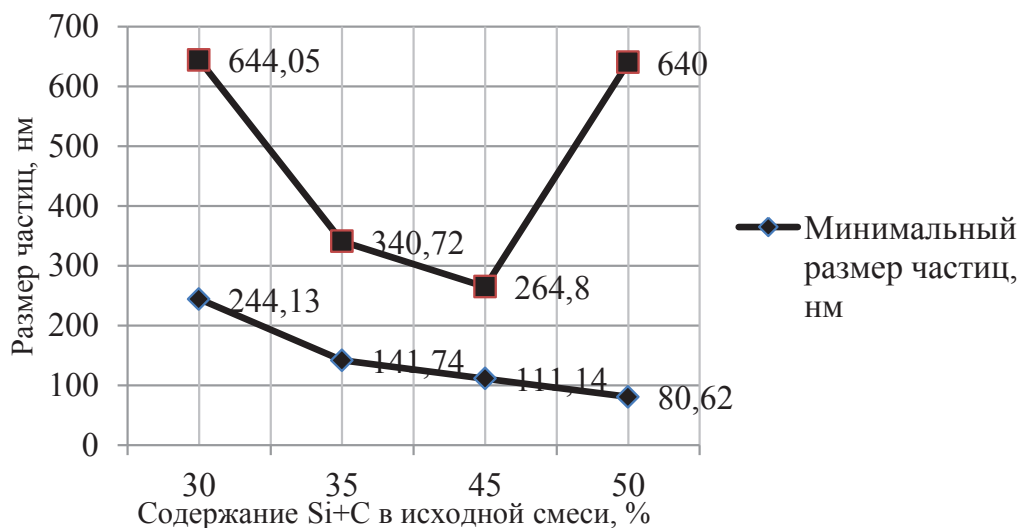


Рис. 6. Зависимость размера частиц конечного продукта от содержания (Si+C) в исходной смеси

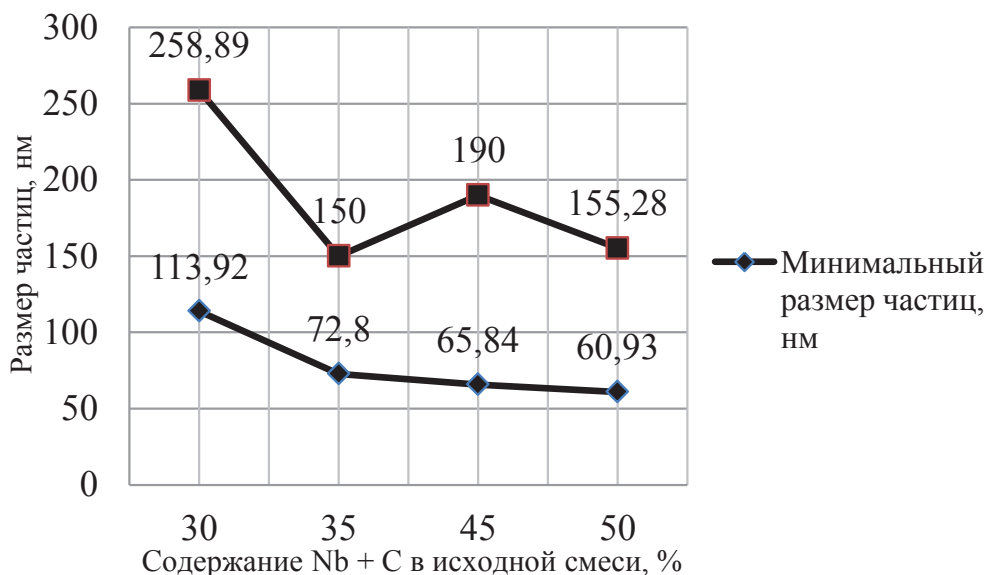


Рис. 7. Зависимость размера частиц конечного продукта от содержания (Nb+C) в исходной смеси

Выводы

1. Проведение процесса СВС композиций карбидов TiC–SiC и TiC–NbC из смесей элементных порошков в изолированном реакторе обеспечивает полные реакции между исходными компонентами и позволяет на выходе получить чистые целевые композиции без каких-либо посторонних примесей.

2. При увеличении доли (Si+C) либо (Nb+C) в исходной смеси порошков уменьшаются температуры горения, что приводит к уменьшению размера синтезируемых порошков.

3. Полученные ультрадисперсные и наноразмерные частицы порошков целевых композиций TiC–SiC и TiC–NbC объединены в агломераты микронных размеров, что является типичным для высокодисперсных порошков, полученных методом СВС.

БИБЛИОГРАФИЧЕСКИЙ СПИСОК

1. *Yongming Luo, Shuqin Li, Wei Pan, Liu Li.* Fabrication and mechanical evaluation of SiC–TiC nanocomposites by SPS // *Materials Letters*. – 2003. – № 58. – С. 150–153.
2. *Jing Chen, Wen Jun Li, Wan Jiang.* Characterization of sintered TiC–SiC composites // *Ceramics International*. – 2009. – № 35. – С. 3125–3129.
3. *Офицерова Н.В., Савина В.И., Шабанов Ш.Ш., Сафаралиев Г.К.* Исследование структур карбидкремниевой керамики с добавлением карбида ниобия // *Вестник Дагестанского государственного университета*. – 2008. – Вып. 6. – С. 34–36.
4. *Амосов А.П., Боровинская И.П., Мержанов А.Г.* Порошковая технология самораспространяющегося высокотемпературного синтеза материалов. – М.: Машиностроение-1, 2007. – 567 с.
5. *Амосов А.П., Самборук А.Р., Самборук А.А., Ермошкин А.А., Закамов Д.В., Криволицкий К.С.* Самораспространяющийся высокотемпературный синтез нанопорошка карбида титана из гранулированной шихты // *Известия вузов. Порошковая металлургия и функциональные покрытия*. – 2013. – № 4. – С. 31–38.
6. *Московских Д.О., Мукасян А.С., Рогачев А.С.* Самораспространяющийся высокотемпературный синтез нанопорошков карбида кремния // *ДАН*. – 2013. – Т. 449. – № 2. – С. 176–179.
7. *Merzhanov A.G.* Advanced SHS ceramics: Today and tomorrow morning. In *Ceramics: Toward the 21st Century: Proc. of Symp. On Ceram. Commemorating the Centennial of the Ceram. Soc. Of Japan, 16–18 Oct., 1991. Yokohama, Japan / Eds S Siga, A. Kato. Tokyo: Ceram. Soc. Jap. Publ., 1991, p. 378–403*
8. *Мамян С.С.* Самораспространяющийся высокотемпературный синтез с восстановительной стадией порошкообразных неорганических материалов: Дисс. ... докт. техн. наук. – Черноголовка, 1993.
9. *Вершинников В.А., Мамян С.С., Георгиев В.В.* Синтез некоторых композиционных порошков и керамических материалов на их основе // *X Нац.-техн. конф. с междунар. участием «Стекло и керамика», 18-20 окт., 1990, Варна. Тез. докл. – Варна, 1990. – С. 54–55.*
10. *Амосов А.П., Боровинская И.П., Мержанов А.Г., Сычев А.Е.* Принципы и методы регулирования дисперсной структуры СВС-порошков: от монокристаллов до наночастиц // *Изв. вузов. Цвет. металлургия*. – 2005. – № 5. – С. 9–22.

Статья поступила в редакцию 20 августа 2016 г.

SELF-PROPAGATING HIGH-TEMPERATURE SYNTHESIS ULTRADISPERSED AND NANOSIZED THE POWDER COMPOSITION TiC-SiC AND TiC-NbC

K.S. Krivolutsky, A.P. Amosov, A.R. Samboruk

Samara State Technical University
244, Molodogvardeyskaya str., Samara, 443100, Russian Federation

The experimental technique on self-propagating high-temperature synthesis (SHS) of composite titanium carbide and silicon or niobium powders was developed. The synthesis in a mode of burning powder compositions with different percentages of initial reagents was made. The combustion temperature measurement was given. The final products of synthesis were analyzed by electron microscopy and X-ray diffractometry. As is shown SHS products are compositions of ultrafine and nanosized particles of pure target phases TiC-SiC and TiC-NbC, combined into micron size agglomerates.

Keywords: *silicon carbide, niobium carbide, titanium carbide, SHS, composite material, micro- and nano-powders.*

*Kirill S. Krivolutsky, a postgraduate student.
Alexander P. Amosov (Dr. Sci. (Techn.)), Professor.
Anatoly R. Samboruk (Dr. Sci. (Techn.)), Professor.*